

C_2NH_5

$(CH_3)_2NH$

1950

5163

NHCH₂CH₂, C₂H₄O (³i)

Evans G.E., Hoffman T.

Proc. Iowa Acad. Sci., 1950, 57, 235-9

Infrared spectrum and ...

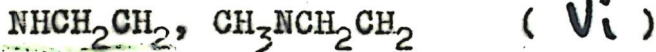
J



C₂NH₅

1957

5165



Hoffman H.T., Evans G.E., Glockler G.
J.A.Chem.Soc., 1951, 73, 3028-30

Infrared spectra of ...

J



C₂NH₅

5171

1957



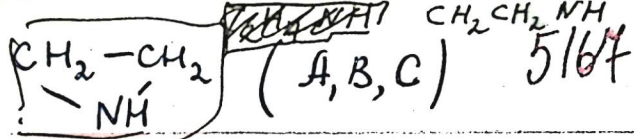
Thompson H.W.m Cave W.T.

Trans. Faraday Soc., 1951, 47, 951-7

Vibrational spectra of ...

J





Johnson R.D., Myers R.Y., Gwinn W.D.

J. Chem. Phys., 1953, 21, N8, 1425 (aniso.)

microwave spectra and dipole moment of ethylenimine.

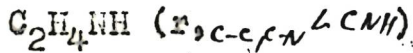
Q

Phys, 1954, N10, 26703

10

5174

1953



Turner T.E., Fiora C., Kendrick W.H.,
Hicks B.L.

J.Chem.Phys., 1953, 21, N3, 564-5

Preliminary ...

J



~~CH₂ + CH₂~~ NH C₂H₅N (V, a, b, c, k) 5176 1953.

Wilcox W.S., Brannock K.C., DeMore W.,
Goldstein Y.H.

J. Clust. Phys., 1953, 21, N3, 563-564

(aue.)

The microwave spectrum and
general properties of ethylene
imine.

PJX, 1954, N5, 17734

10

2

CH₂ CH₂ NH

BØ-4998-IV

1961

(✓)

Gallegos E., Kisez R. W.

Z. Phys. Chem., 1961, 65,
N° 7, 1177-82

C₂H₄NH.

1961

) An electron-diffraction investigation of the molecular structure of ethyleneimine. Masato Igarashi (Univ. Tokyo). *Bull. Chem. Soc. Japan* 34, 369-73(1961); cf. Turner, *et al.*, CA 50, 1469e.—The diffraction photographs were obtained using an r^2 rotating sector. The mol. intensity and radial distribution curve were calcd. The latter consists of peaks at 1.09, 1.49, and 2.19 Å. corresponding to bonded CH and NH, bonded CC and CN, and nonbonded N . . CH, C . . CH, and C . . . NH, resp. These peaks were analyzed into their components. Assuming the mean amplitude of both C—C and C—N bonds to be 0.05 Å., the most reasonable model arrived at by theoretical intensity, q , curves, and $q_{\text{calcd.}}/q_{\text{observed}}$ ratios has C—C = $(1.48 \pm 2d) \pm 0.02$ Å. and C—N = $(1.49 \pm d) \pm 0.01$ Å., where $d = 0.05 - \text{mean amplitude}$. Also C—H = 1.08 ± 0.03 Å. and N—H = 1.05 ± 0.07 Å. None of the angles could be detd. unambiguously. The distances are in good agreement with microwave data, especially when a mean amplitude of 0.05 Å. is assumed. E. E. Richards

On IV-5166

C.A.1961, 55, 17.

1607106

Этиламинида
 $\text{CH}_2 - \text{CH}_2$
NH

Уасон М. Е.,
Milligan D. E.

1963

164

JACS, 85, 278

спекр 6
исследование

UK - исследование μ -чел
 CH_2 и NH с C_2H_2 и C_2H_4 в
твёрдой агрег.



☒

CH₃NCH₂
б.
спектр

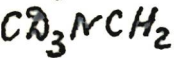
1964

7 Д226. ИК-спектр N-метиленметиламина. H inze
Jürgen, Curt R. F., Jr. Infrared spectrum of N-methy-
lenemethylamine. «J. Amer. Chem. Soc.», 1964, 86, № 23,
5068—5070 (англ.)

Получены ИК-спектры твердых CH₃NCH₂ и CD₃NCH₂
при т-ре —196° С и их матриц в аргоне при 20° К в об-
ласти 4000—400 см⁻¹. Дана полная интерпретация спек-
тров, хорошо согласующаяся с правилом произведений.
Т. к. между спектрами твердых аминов и спектрами их
матриц в аргоне не обнаружено существенной разницы,
сделан вывод, что в твердых CH₃NCH₂ и CD₃NCH₂
межмолекулярные связи отсутствуют. Б. Жаданов

95. 1965. 78

1964



crescendo

Infrared spectrum of *N*-methylenemethylamine. Juergen Hihze and R. F. Curl, Jr. (Rice Univ., Houston, Tex.). *J. Am. Chem. Soc.* 86(23), 5068-70(1964)(Eng). The ir spectra of CH_3NCH_2 and CD_3NCH_2 were obtained in the region 400-4000 cm.⁻¹ with the amine as pure solid as well as in an Ar matrix. The fundamental vibrational frequencies were assigned completely.

RCJC

C.A. 1965. 62.2

1210a

C₂NH₅

1984

CH₃NRCH₂

Yardley J.T., Kincaid J., Cault R.F.

CH₂2.NCH₂

J. Chem. Phys., 1984, 41, 2562 (N°8)

LIBRARY

Parasiticose nonsporulating N-

mycosphaerellae of the genus

1964

CH₃NCH₂ ✓ 7 Б154. Микроволновый спектр N-метилметиленимина. Sastry K. V. L. N., Curl R. F., J. Phys. Micro-wave spectrum of N-methyl methylenimine. «J. Chem. Phys.», 1964, 41, № 1, 77—80 (англ.)

МВ Изучен вращательный спектр CH₃NCH₂ в области 7000—4000 Mгц. Идентифицирован ряд переходов *b*-типа. Для барьера внутреннего вращения метильной группы получена величина 1970 ± 25 кал/моль. Для некоторых переходов проанализированы компоненты квадрупольной тонкой структуры. Компоненты квадрупольного тензора χ_{cc} и χ_{AA} равны соответственно $3,2 \pm 0,2$ и $1,9 \pm 0,3$ Mгц. Из измерения эффекта Штарка найден дипольный момент $1,53 \pm 0,020 D$. Б. Л.

7.1965.7

1964

CH_3NCH_2
специер

V₂ Д227. Микроволновый спектр CH_3NCH_2 . Sastry K. V. L. N., Cugl R. F., Тр. Microwave spectrum of *N*-methyl methylenimine. «J. Chem. Phys.», 1964, 41, № 1, 77—80 (англ.)

Изучен вращательный спектр CH_3NCH_2 в области 7—49 кГц при т-ре сухого льда. Первые 4 Q-ветви *b*-типа переходов ($J_{0,i} \rightarrow J_{1,j-i}$) индентифицированы по эффекту Штарка. Наблюдаемые линии имели тонкую квадрупольную структуру. Изучены их интенсивности. Барьер внутреннего вращения CH_3 -группы, полученный из расщепления вращательных переходов, равен 1970 ± 25 кал/моль. Определены компоненты квадрупольного тензора X_{cc} и X_{aa} соответственно равные $3,2 \pm 0,2$ и $1,9 \pm 0,3$ Гц, и электрич. дипольный момент, равный $1,53 \pm 0,02$ ед. Дебая. Приведены длины связей C—N и C—H и углы HCN и CNC между связями. Библ. 11 назв.



Ф. 1965. 28

CH₃NCH₂

1964

M. B.
Chem

Microwave spectrum of N-methyl methylenimine. K. V. L. N. Sastry and R. F. Curl, Jr. (Rice Univ., Houston, Texas). *J. Chem. Phys.* 41(1), 77-80(1964). The rotational spectrum of CH₃NCH₂ was studied, 7000-49,000 Mc. Several *b*-type transitions were identified. The barrier to the internal rotation of the Me group is 1970 ± 25 cal./mole. Quadrupole fine structure components for several transitions were analyzed. The components of the quadrupole tensor χ_{ee} and χ_{aa} are 3.2 ± 0.2 and 1.9 ± 0.3 Mc., resp. The elec. dipole moment is 1.53 ± 0.020 debyes.

RCJQ

C. I. 1964 6113 26164

9828

1965

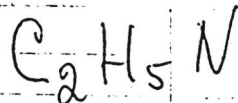


Potts W.J.

Spectrochim. Acta, 1965, 21(3),
511-27

The fundamental vibration ...

J

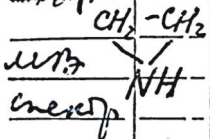


BQP - M 499-IV

1965

Tolles W. H., Gwin W. D.

J. Chem. Phys., 1965, 42, 2253 (N. 6).

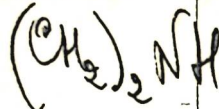


Изучение излучательных свойств
ионной пары бензена и этилена
в зумерическом

Банк 4200 см⁻¹ (бенз. и этил.)

C₂NH₃

1967



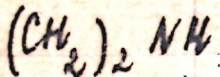
U.K.
Chloroform

~~1967/32~~ Low-temperature (90 and 10°K.) infrared absorption spectra of ethyleneimine. Jacques Le Brumant and Daniel Maillard (Lab. Phys. Exptl. Mol., Paris). *C. R. Acad. Sci., Paris, Ser. A, B* 265B(16), 853-5(1967)(Fr). The ir absorption spectra ($4000-400 \text{ cm.}^{-1}$) of $(\text{CH}_2)_2\text{NH}$ were obtained at 90 and 10°K., by a method previously described. The solid phase spectra showed doublets and triplets. The valence vibration N-H was lowered from 3225 to 3152 cm.^{-1} with respect to the corresponding frequency in the liq. phase.

GRJF

C.A. 1968. 68.24

1967

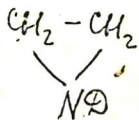
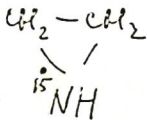
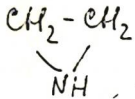


11 Б190. ИК-спектры поглощения $(CH_2)_2 NH$ при низких температурах (90 и 10° K). Le Gruyer-Jacques, Maillard Daniel. Spectres d'absorption infrarouge de l'éthylène imine, à basse température (90 et 10° K). «C. r. Acad. sci.», 1967, 265, № 16, B 853—B 856 (франц.)

Получены ИК-спектры поглощения (4000—400 см⁻¹) $(CH_2)_2 NH$ в твердом состоянии при т-рах 90 и 10° K. Спектры, в основном, состоят из дублетных и триплетных полос. Выполнено отнесение наблюдавшихся частот, для чего использовались спектры $(CH_2)_2 NH$ в газовой и жидкой фазах, а также спектры твердого р-ра $(CH_2)_2 NH$ в $(CH_2)_2 ND$.

Ю. М. Ладвищёнко

Х. 1968. II



1967

14 Б227. Колебательные спектры нормального, имин-дейтерированного и N^{15} -этилениминов. Mitchell R. W., Bugg J. C., Jr, Metgritt J. A. Vibrational spectra of normal, imine-deuterated and ^{15}N ethyleneimine. «Spectrochim. acta», 1967, A23, № 1, 195—207 (англ.)

Исследованы ИК-спектры поглощения нормального, имин-дейтерированного и N^{15} этилениминов в газ., жидком и твердом состояниях. Молекула этиленимина имеет симметрию C_s . Все 18 нормальных колебаний разрешены в ИК-спектрах поглощения и КР. 10 колебаний относятся к классу A' и 8 — к классу A'' . В спектре газа колебания класса A' должны иметь контур полосы типа B или C или гибридный контур типа $B+C$ в зависимости от того, изменяется дипольный момент перехода вдоль осей B или C или вдоль какого-то промежуточного направления в плоскости осей B и C . В соответствии с приведенным анализом ожидаемого спектра этиленимина полосы 777, 856, 997, 1090 и 1210 см^{-1} , имеющие от-

X. 1967. 14

четырехвыраженный гибридный контур типа $B+C$ в ИК-спектре газа отнесены к колебаниям класса A' , а полосы 1131, 1237 и 1268 см^{-1} , имеющие контур типа A — к колебаниям класса A'' . Полосы 904 и 1096 см^{-1} , сдвигающиеся при дейтерировании группы N—H на 150 см^{-1} , отнесены к деф. кол. $\nu\text{N}-\text{H}$ классов A' и A'' соответственно. Полоса поглощения 820 см^{-1} , наблюдающаяся в ИК-спектре твердого этиленимина (в спектре КР 817 см^{-1}) отнесена к классу A'' . В соответствии с данными по поляризации полос в спектре КР и контурами полос в спектре газа проведено отнесение основных колебаний в спектрах имин-дейтерированного и N^{15} -этиненимина. Правильность отнесения контролировалась применением правила произведений Редлиха — Теллера.

Г. Кузьянц

C₂H₅N

1967

9 Д254. Колебательные спектры нормального, иминдейтерированного и N¹⁵-этилениминов. Mitchell R. W., Цигг J. C., Мерритт J. A. Vibrational spectra of normal, imine-deuterated and ¹⁵N ethyleneimine. «Spectrochim. acta», 1967, A23, № 1, 195—207 (англ.)

Исследованы ИК-спектры C₂H₅N, C₂H₄ND и C₂H₆N¹⁵ в газообразном, жидким и твердом состояниях. Полосы 777, 856, 997, 1090 и 1210 см^{-1} C₂H₅N, имеющие отчетливо выраженный гибридный контур типа *B+C* в ИК-спектре газа, отнесены к колебаниям класса *A'*, а полосы 1131, 1237 и 1268 см^{-1} , имеющие контур типа *A* — к колебаниям класса *A''*; полосы 904 и 1096 см^{-1} , сдвигающиеся при дейтерировании группы N—H на 150 см^{-1} , отнесены к деф. кол. *vN* — к классам *A'* и *A''* соответственно. Полоса

Ф. 1967. 92

поглощения 820 см^{-1} , наблюдающаяся в ИК-спектре твердого $\text{C}_2\text{H}_5\text{N}$ (в спектре КР 817 см^{-1}), отнесена к классу A''. В соответствии с данными по поляризации полос в спектре КР и контурами полос в спектре газа проведено отнесение основных колебаний в спектрах $\text{C}_2\text{H}_4\text{ND}$ и $\text{C}_2\text{H}_5\text{N}^{15}$. Правильность отнесения контролировалась применением правила произведений Редлиха — Теллера. Приведены спектры и таблицы частот. Библ. 8.

Г. Кузьянц

$(\text{CH}_2)_2 \text{NH}$

Clark D.T.

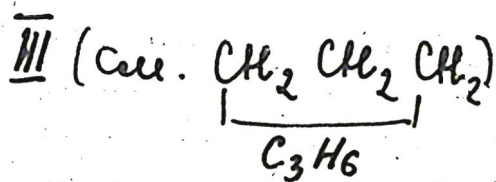
1968

(5)

Theoret. chim. acta, 10, №,
III.

Рассеяние света и коопро-
наса, окраин амфолита
и гидрокарбоната маги-
зия HCO₃⁻ с самосорта-
сование с включи-
ем

Несколько возможных
составов:



1968

СЖУН

10 Б277. Главный тензор градиента поля азота, химическая связь и туннельный барьер протона в этиленимине. Кестр М. К., Flygare W. H. The nitrogen principal field gradient tensor, bonding, and barrier to proton tunneling in ethylenimine. «J. Amer. Chem. Soc.», 1968, 90, № 23, 6267—6272 (англ.).

CH₂ — CH₂ NH

Исследованы МВ-спектры этиленимина и этиленимина- D_4 . Определены постоянные квадрупольной связи ядра N^{14} в системе главных осей тензора градиента поля $\chi_{\alpha\alpha}=0,685 \pm 0,005$, $\chi_{\beta\beta}=3,004 \pm 0,09$ и $\chi_{\gamma\gamma}=-3,689 \pm 0,09$ Гц, из которых найдены χ -постоянные в молекуле осей $\chi_{xx}=0,685 \pm 0,005$, $\chi_{yy}=1,77 \pm 0,16$, $\chi_{zz}=-2,46 \pm 0,16$ и $\chi_{yz}=2,59 \pm 0,13$ Гц (ось z перпендикулярна плоскости кольца, а ось y является биссектрисой

x. 1969. 10

угла CNC). Результаты использованы для определения гибридных орбит атома N. Показано, что модель Уолша удовлетворительно описывает электронное распределение у ядра N с sp^2 -орбитами, перпендикулярными плоскости CNC, согласно к-рой одна из sp^2 -орбит образует связь с H, вторая содержит неподеленную пару электронов, а третья участвует в образовании кольца. Четвертая орбита N является чистой p -функцией кольца, перпендикулярной к sp^2 -орбитам. Показано, что частота инверсии N меньше 15 кгц. Предложена простая модель барьера инверсии и получена ф-ла, связывающая высоту барьера с частотой инверсии и интервалами между колебательными уровнями. Найдена нижняя граница значения барьера $V=11,6$ ккал, близкая к энергии активации для инверсии N в тетраметилэтиленимине, найденной методом ЯМР.

Резюме

CH_2-CH_2
NH

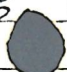
V₀

A. Veillard, J.M. Lehn,
B. Munsch

Theor. Chim., Paris. Theor.

Chim. Acta 9(3), 275-7 (1968) (Eng.)

Teorijski rezultati konfiguracijom učinjani. Pocetek ab initio SCF-LCAO-MO metoda uverljivo je
dokazan. Samo uvek u...



primenjivane

(npr. NH₃ III)

1969

10 Д284. ИК-спектры и спектры комбинационного рассеяния жидкого и твердого этиленимина. Сравнение со спектрами нормального этиленимина. Le Grumant Jacques. Spectres de diffusion Raman et d'absorption infrarouge de l'éthylène imine N-deutériée liquide et solide; comparaison avec les spectres de l'éthylène imine normale. «С. г. Acad. sci.», 1969, 268, № 22, B1424—B1427 (франц.)

Получены ИК-спектры $(\text{CH}_2)_2\text{ND}$ и $(\text{CH}_2)_2\text{NH}$ в области 400—4000 см^{-1} в жидкой и твердой фазах и спектры комб. рас. этих в-в в области 50—3400 см^{-1} при т-рах 80 и 293° К. Частоты полос, наблюденных этими двумя методами, хорошо согласуются. При переходе от жидкости к кристаллу многие полосы как ИК-, так и спектров комб. рас., расщепляются. Приведены частоты наблюденных полос, качественно оценены их интенсивности и поляризации. Замена норм. образца на дейтерированный вызывает сильное уменьшение частот 6 полос ИК-поглощения. Этот результат подтвержден изучением спектра комб. рассеяния. Библ. З: М. В. Тонков

10

1969.

C₂H₅N

Snyder L.C.,
Basch H.

1969

Family
sp. see
Kb - Mex.
pacem

J. Amer. Chem. Soc.,
1969, 91, n 9, 2189.



(C₂H₅)^{III}

C_2NH_5

CH_3CH_2-N

Cuckup
norous.

1970

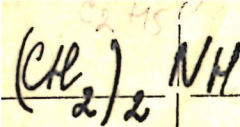
Franken Th. epp

Z. Naturforsch.

1970, 25a, n^o 1, 151

$(C_2H_5-N)^{III}$

1970



10 Д388. Сравнение ИК-спектров поглощения этилен-имина в матрицах из твердого аргона или азота (10° K). Le Gument Jacques. Comparaison des spectres d'absorption infrarouge de l'éthylène imine en matrices d'argon ou d'azote solide (10° K). «C. r. Acad. sci.», 1970, 270, № 14, B898—B901 (франц.)

Получены ИК-спектры поглощения (700—1500 см^{-1}) этилен-имина— $(\text{CH}_2)_2\text{NH}$ (I) в матрицах из аргона, азота и аргона с примесью азота. Обнаружено удвоение всех полос в спектре I в аргоне (расщепление 6—9 см^{-1}), которое накладывается тонкая структура с расщеплением 2 см^{-1} . В спектре I в азоте расщепление наблюдается только для полос колебаний NH-группы. Предполагается, что структура полос имеет межмолекулярное происхождение. Произведены концентрационные измерения в диапазоне 0,4—2% I.

Л. Щерба

19. 1970. 108

NH

CH₂-CH₂

CH₂-NH-CH₂

V

C.A. 1920-73-4

19926k Comparison of the infrared absorption spectra of ethylene imine in solid argon or nitrogen matrices (10°K).

Le Brumant, Jacques (Phys. Exp. Mol., Fac. Sci., Paris, Fr.).

C. R. Acad. Sci., Ser. B 1970, 270(14), 898-901 (Fr). The ir absorbtion spectra were recorded of ethylene imine (I, 0.4-2%) in solid Ar, N₂, or Ar doped with 5% N₂. At low concns. of I in Ar, all vibrational bands were split (splitting 6-9 cm⁻¹) into 2 bands, and a fine structure (2 cm⁻¹) was superimposed. In N₂, only the bands corresponding to NH vibrations were split. Results suggest that splitting is due to intermol. phenomena. Differences in the spectra are due to differences in the nature of the sites occupied by I in Ar and N₂.

FBIF



C₂H₄NH

H₂C - O H₂

\ /
NH

v₅

Icog. B., et al.

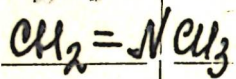
Theor. Chem. Acta,

1970, 18, 2, 143.

(Ces. C-N-H) II

C_2H_5N

1970



7 Д185. Колебательный спектр и силовое поле N -метилметиленимина. Попов Е. М., Желтова В. Н., Коган Г. А. «Ж. структурн. химии», 1970, II, № 1, 149—151

Рассчитано силовое поле N -метилметиленимина. Найдено, что постоянные группы $N—CH_3$ практически не отличаются от соответствующих постоянных в аминах. Постоянная связи $C—N$ увеличивалась с 7,8 (в аминах) до 8,3. Силовая постоянная двойной связи $C=N$ имеет значение 16,0.

исл.

пост.

ф. 1970. 70

XIV-3649 1971

12 б276. Определение структуры этиленимина методом замещения. Vak-Borge, Skaagur Steen.
The substitution structure of ethylenimine. «J. Mol. Struct.», 1971, 10, № 3, 385—387 (англ.)

Исследованы микроволновые спектры молекулы этинимина и ¹⁷I изотопич. модификаций этиленимина в основном колебательном состоянии. Анализ спектров выполнен с учетом центробежного искажения 2-го порядка по ф-ле Уотсона с 5 постоянными центробежного искажения. Определены вращательные и центробежные постоянные всех 7 изотопич. видов. В частности для незамещенной молекулы получено: $A = 22736,12$, $B = 21192,38$, $C = 13383,07$ МГц, $\Delta_{IK} = -51,7$, $\Delta_K = 16,4$, $\delta_I = 4,37$, $\delta_K = 3,4$ КГц. Из вращательных постоянных незамещенной молекулы и 5 монозамещенных молекул

NHCH₂CH₂

ли.и.

псоч. с1) 12

X. 1972. 12

методом Крайчмана вычислены структурные параметры этиленимина: $NH = 1,016$, $NC = 1,475$, $CC = 1,481$, $C(2) - H(2) = 1,084$, $C(2) - H(2') = 1,083$ Å, $CNC = 60,25^\circ$, $HNC = 109,31^\circ$, $HCH = 115,72^\circ$, $H(2)CC = 117,75^\circ$, $H(2) - CN = 118,26^\circ$, $H(2')CC = 119,32^\circ$, $H(2')CN = 114,27^\circ$. Вычисленные из этих параметров значения вращательных постоянных дизамещенного этиленимина согласуются с их эксперим. значениями. Найденные значения структурных параметров отличаются от лит. данных, полученных, как правило, из неполного набора вращательных постоянных. Показано, что плоскость HCN не перпендикулярна плоскости CNC, а образует с ней угол 87° .

М. Р. Алиев

NHCH₂CH₂
azupugua

Hsu Chang S.;
Chang I - Chen.

H973

(Vi) "Spectrosc. Lett"

1973, 6, N1, 61-65

• (cui. PHCH₂CH₂; II)

40301.7215
Ph, Ch, TE

$C_2H_4NH + Kr$
40892

1973

$C_2H_4NH + Xe$

+ 45-3821

результаты. Использован

Kawasaki Masahiro, Iwasaki Masahiro,
Tanaka Ikuzo.

Electronic states of imino radicals
formed from the vacuum-ultraviolet
photolysis of ethylenimine.

"J.Chem.Phys.", 1973, 59, N 12, 6328-6333

(англ.)

0056 РИК

038 042

- 049

ВИНИТИ

41003.7303
Ch, TC

C₂H₄NH

41197 02

1974
2531

Kawasaki Masahiro, Tanaka Ikuzo.
Emission of imino radicals in the c₃₅₆
state formed from the photolysis of
ammonia, methylamine, and ethylenimine
at 123.6 nm.

"J. Phys. Chem.", 1974, 78, N 18, 1784-1789

(англ.)

0204 пик

189 191

0193

ВИНИТИ

C_2H_4NH

ommice 4979

1974

Nakanishi H,
Yamamoto O.

doll
usages.

Tetrahedron, 1974,
30, 2115 - 21.

C_2H_5N

*4-4808

1974

($A\bar{e}$)

17 Б1389. Фотоотщепление электронов от аниона этилнитрена. Верхний предел сродства к электрону $C_2H_5N^-$. Richardson Jeffery H., Stephen-son L. M., Brauman John I. Photodetachment of electrons from ethyl nitrene anion. An upper limit to the electron affinity of $C_2H_5N^-$. «Chem. Phys. Lett.», 1974, 25, № 3, 321—323 (англ.).

Методом ионного циклотронного резонанса исследован процесс фотоотщепления электрона от аниона $C_2H_5N^-$, получаемого при диссоциативном электронном захвате N-нитрозодиэтиламином. Измерены относительные поперечные сечения σ фотоотрыва с образованием нитрена: $C_2H_5N^- + h\nu \rightarrow C_2H_5N + e$ в интервале λ 480—600 нм (2,95—1,72 эв). Показано, что σ сильно падает с ростом λ . Оценен верхний предел $(1,87 \pm 0,16)$ эв) сродства к электрону у нитрена в триплетном состоянии. А. Ш.

X. 1974 N 17

C_2H_5N

1974

*у-4808

(\bar{He})

9 Д400. Фотоотрыв электронов из аниона этилнитрена. Верхний предел величины сродства к электрону C_2H_5N . Richardson Jeffery H., Stephenson L. M., Brauman John I. Photodetachment of electrons from ethyl nitrene anion. An upper limit to the electron affinity of C_2H_5N . «Chem. Phys. Lett.», 1974, 25, № 3, 321—323 (англ.)

В области 420—720 нм изучен фотоотрыв электронов из этилнитрен-аниона; определены величины сечения процесса. Верхний предел значения сродства к электрону этилнитрена оценен равным $1,87 \pm 0,16$ эв. Библ. 12.

С. Ф. Б.

ср. 1974. № 9.

C₂H₅-N

1975

C₂H₄O

*кв. цех.
расчет*

(71)

Ф. 1976 № 6

6 Д165. Молекулярные комптоновские профили, рассчитанные с волновыми функциями метода MO ССП. II. Сравнение систем с трехчленными циклами C_3H_6 , C_2H_5N , C_2H_4O и их ациклических изомеров. Hirst David M., Liebmann S. Peter. Molecular Compton profiles from SCF-MO wavefunctions. II. Comparison of the three membered ring systems C_3H_6 , C_2H_5N , C_2H_4O with acyclic isomers. «Mol. Phys.», 1975, 30, № 6, 1693—1699 (англ.)

Ограничением методом Хартри—Фока в базисе сгруппированных гауссовых ф-ций рассчитаны энергии и волны. ф-ции основного состояния (при равновесной эксперим. геометрии) трех систем с трехчленными циклами: циклопропана, азиридина и оксирана, а также соответствующих нециклич. изомеров этих систем. С полученными волн. ф-циями вычислены средние значения

операторов импульса p^n при $n = \pm 1, \pm 2$ и комптоновские профили $J(p)$ при $0 < p < 5,0$ ат. ед. Тестовый расчет формамида показал хорошую пригодность использованного базиса для расчета комптоновских профилей. Установлено, что различия в профилях для циклических и ациклич. изомеров лишь немного превышают величины эксперим. ошибок, характерных для современного эксперимента. Профили циклич. соединений несколько шире профилей соответствующих ациклич. изомеров, какие-либо характерные особенности, связанные с образованием циклов, отсутствуют. Показано, что при расчете профилей приближение локализованных орбиталей приводит к вполне приемлемым результатам, мало отличающимся от результатов неэмпирич. расчета. Ч. I см. РЖФиз, 1976, 2Д248.

Н. Ф. Степанов

$\text{CH}_2=\text{CHNH}_2$ XIV-6290 1975

15 Б289. Пиролиз этиламина. I. Микроволновый спектр и молекулярные постоянные виниламина. Lovas Frank J., Clark Frank O., Tiemann Eberhard. Pyrolysis of ethylamine. I. Microwave spectrum and molecular constants of vinylamine. «J. Chem. Phys.», 1975, 62, № 5, 1925—1931 (англ.)

Исследован МВ-спектр виниламина $\text{CH}_2=\text{CHNH}_2$, полученного в результате пиролиза этиламина, в области частот от 18 до 112 Гц для основного и 1-го возбужденного инверсионного колебательных состояний. Для обоих состояний определены вращательные постоянные, постоянные центробежного искажения и постоянные квадрупольного взаимодействия. В основном колебательном состоянии вращательные постоянные в

4.12.
запись

X. 1975 N 15

Мгц: $A = 56312,9(190)$, $B = 10034,756(58)$, $C = 8564,930(60)$,
постоянные ^{14}N ядерного электрич. квадрупольного вза-
имодействия в Мгц: $\chi_{aa} = 2,20(22)$, $\chi_{bb} = 1,95(18)$, $\chi_{cc} =$
= $-4,13(20)$. По эффекту Штарка 2-го порядка для
трех переходов определены компоненты дипольного мо-
мента: $\mu_a = 1,083 \pm 0,008$, $\mu_b = 0,37(+0,13, -0,37 D)$. При
ряде предположений определены 2 из 13 структурных
параметров. Для плоской конфигурации $\text{NH}_2 : r(\text{CN}) =$
 $= 1,401 \pm 0,040\text{\AA}$, $\text{CCN} = 124,5^\circ \pm 2^\circ$, для пирамидальной
конфигурации $\text{NH}_2 : r(\text{CN}) = 1,397 \pm 0,040\text{\AA}$, $\text{CCN} =$
 $= 125,2^\circ \pm 2^\circ$. Из измерений относит. интенсивностей
линий определено, что инверсионное состояние лежит
выше основного на $65 \pm 25 \text{ см}^{-1}$. С. Н. Мурзин

CH2=CHNH2 ① 8 Д497. Пиролиз этиламина. Ч. I. Микроволновый спектр и молекулярные константы виниламина. Lovas Frank J., Clark Frank O., Tiemann Ebergard. Pyrolysis of ethylamine. I. Microwave spectrum and molecular constants of vinylamine. «J. Chem. Phys.», 1975, 62, № 5, 1925—1931 (англ.)

М. н.

М. б. спектр

Получен микроволни. спектр молекулы виниламина (CH2=CHNH2), образованной при пиролизе этиламина (CH3CH2NH2). Идентифицированы линии вращательных переходов с $J \leq 6$ в основном колебательном состоянии и в первом возбужденном состоянии инверсионного колебания аминогруппы. Определены значения вращательных и квартичных центробежных постоянных, постоянных квадрупольной связи ядра ^{14}N и дипольный момент виниламина. Для основного состояния получено: $A = -56312,9$, $B = 10034,75$, $C = 8564,93$ МГц; $\tau_1 = 0,142$, $\tau_2 = -0,0133$, $\tau_3 = 4,75$, $\tau_{\text{весь}} = -0,0502$, $\tau_{\text{ccc}} = -0,0213$ МГц; $\chi_{aa} = 2,20$, $\chi_{bb} = 1,95$, $\chi_{cc} = -4,13$ МГц; $\mu_a = 1,083$, $\mu_b = -0,37$ ед. Дебая. По относит. интенсивности линий основного и возбужденного состояний оценена энергия возбужденного инверсионного состояния $(65 \pm 25 \text{ см}^{-1})$. Оценены значения длины связи CN (1,40 Å) и валентного угла CCN (124°).

М. Р. Алиев

Ф 1975 18

C₂H₄NH

8 Д436. ВУФ-спектры этиленимина и триметиленимина. Clark Patricia A., Pickett Lucy W.

1976

The vacuum ultraviolet spectra of ethyleneimine and trimethyleneimine. «J. Chem. Phys.», 1976, 64, № 5, 2062—2064 (англ.)

Получены спектры поглощения в вакуумной УФ-области ($40\ 000$ — $60\ 000\ \text{см}^{-1}$) газообразных этиленимина (I) и триметиленимина (II) при давл. $0,047$ — $0,133$ и $0,128$ — $0,225$ мм рт. ст. соответственно. В спектре I обнаружены полосы $6,32$ и $7,15$ эв с силой осцилляторов f , соответственно, $0,003$ и $0,086$. Тонкая колебат. структура с расстояниями между полосами порядка $710 \pm 20\ \text{см}^{-1}$ предположительно отнесена к симметричному деф. кол. кольца. У II обнаружена одна полоса $6,44$ эв с $f=0,047$. Методом ППДП—КВ выполнены расчеты энергии переходов изученных молекул, а также соединений ряда насыщенных алканов, эфиров и аминов с 3-х, 4-х и 5-членными кольцами. Библ. 18.

С. Ф. Б.

*спектры
поглощ.*

Ф. 1976. № 8.

C_2H_4NH

1976

Fujimoto H, et al

Bull. Chem. Soc.
Jap. 1976, 49, N6,
1508-11.

(paerem
cropyell.
kappa.)

(ee C_3H_6) III

C₂H₅N +

1976

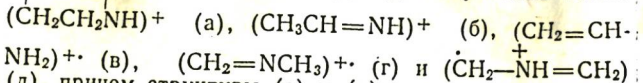
20 Б71. Исследования метастабильных ионов. VI.
Установление строения ионов C₂H₅N⁺ на основании ха-
рактерной для них кинетической энергии. Holmes
John L., Terlouw Johan K. Metastable ion studi-
es. VI. The identification of C₂H₅N ion structures from
their characteristic kinetic energy releases. «Can. J.
Chem.», 1976, 54, № 7, 1007—1014 (англ.; рез. франц.)

*Стройный
текст*

В первой свободной от полей области (между ионным источником и электростатическим анализатором) масс-спектрометра с двойной фокусировкой исследован распад метастабильных ионов C₂H₅N⁺; образующихся в результате фрагментации молек. ионов циклобутиламина, алкиламинов, пирролидинов, пиперидинов, азиридина и N,N-диметилформамида и их дейтероаналогов. На основании формы метастабильных ионов, отвечающих процессу C₂H₅N⁺ → C₂H₄N⁺ + H: и значений кинетич. энергии характерной для распадающихся ионов предложе-

x. 1976 № 20

ны следующие изомерные структуры изучаемых ионов:



(д), причем структуры (а) и (д) различить не удалось.

В кач-ве стандартной принималась структура молек.

иона азиридина (структура а/д), которая характерна и

для ионов $\text{C}_2\text{H}_5\text{N}^+$, образующихся при распаде диал-

киламинов, пирролидинов и пиперидинов. В случае три-

алкиламинов, N-метилпиперидина и N,N-диметилформа-

мида указанные ионы имеют структуру (г). В случае

цикlobутиламина иmonoалкиламинов исследуемому ио-

ну приписывается структура (в), а для диэтиламина

характерны структуры (в) и (б). Пред. сообщ. см.

РЖХим. 1976. 5Б1195.

Б. В. Розынов

а:

резо

CH₂=N-CH₃ 39-XIV-958/

1977

14 Б274. Продукты пиролиза и микроволновые спектры легкого и тяжелого N-метилметиленимина. Bak B., Larsen N. W., Van holt H. Pyrolytic production and microwave spectra of light and heavy N-methylmethylenimine. «Acta chem. scand.», 1977, A31, № 9, 755—758 (англ.)

Два изотопич. образца N-метилметиленамина CH₂=
=N-CH₃ (I) и CD₂=N-CD₃ (II) получены в кач-ве
продуктов пиролиза, соотв., (CH₃)₂NH и (CD₃)₂ND на
кварцевой поверхности при т-ре 950° и давл. 30·
·10⁻³ мм. Идентификация I и II выполнена по МВ-

спектрам в области частот от 17,5 до 40 Гц. Для I и II, соотв., определены вращательные постоянные (в МГц) A=52527,265(120) и 34577,274(110), B=
=10666,1008(290) и 8161,0836(270), C=9377,3587(230)
и 7191,1612(290), квартичные и секстичные постоянные центробежного искажения. Полученные данные могут быть использованы при исследованиях эмиссионного МВ-спектра I в межзвездном пространстве в области частот выше 40 Гц.

С. Н. Мурзин

Б

Х 1979 XIV

C₂H₅N BP XIV-8679 1977

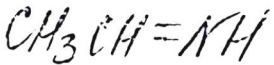
Niessen W., et al.

(анектидом.
амидонил)

Theor. Chim. Acta,
1977, 44, N1, 85-93.



(ал. C₂H₄O; III)



1980

21 Б251. Микроволновый спектр (*Z*)-этанимина.Brown Ronald D., Godfrey Peter D., Winkler David A. The microwave spectrum of (*Z*)-ethanimine. «Austral. J. Chem.», 1980, 33, № 1, 1—7 (англ.)

Измерен в области частот от 18 до 76 ГГц. МВ-спектр *Z*-изомера этанимина $\text{CH}_3\text{CH}=\text{NH}$, в основном колебательном и 1-м возбужденном торсионном состояниях. Анализ спектров выполнен с учетом эффектов центробежного искажения и квадрупольного взаимодействия. Вращательные постоянные в основном и возбужденном колебательных состояниях, соотв., равны (Мгц) $A=49909$ (143) и 61030 (950), $B=9828,299$ (41) и $9826,400$ (161), $C=8650,257$ (43) и $8665,647$ (163). Из расщепления линий из-за эффекта внутреннего вращения метильной группы оценена величина барьера внутреннего вращения $V_3=1494$ (6) кал/моль и остальные

H. F. Екесіф

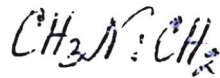
X. 1980 № 21

параметры внутреннего вращения. Определены константы N-ядерного квадрупольного взаимодействия в основном и возбужденном колебательных состояниях, соотв., $\chi_{aa} = -3,676$ (35) и $-3,707$ (56) МГц, $\chi_{\beta\beta} = 0,552$ (16) и $0,569$ (26) МГц. Полученные значения χ_{aa} и $\chi_{\beta\beta}$ существенно отличаются от соотв-щих величин для метанимина, в то время как значения χ_{cc} у обеих молекул близки по величине. По эффекту Штарка 2-го порядка для трех МВ-переходов определены компоненты дипольного момента в основном и возбужденном состояниях, соотв., $\mu_a = 2,380$ (2) и $2,377$ (2) D , $\mu_{\beta} = 0,445$ (93) и $0,829$ (63) D и результирующий полный дипольный момент молекулы $\mu = 2,42 D$.

С. Н. Мурзин

как

статья 5131 1977



Сост. автор,

М.Н.; д/р.

№ ① т. 9 .97.

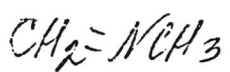
Ф. 1977

IV-10

10 Д499. N-метилметиленимин и этилиденимин: ИК-спектры газообразных и изолированных в матрице молекул, расчеты ab initio и термодинамические свойства. Stolkin I., Ha T.-K., Günthard Hs. H. N-methyl-methyleneimine and ethylideneimine: gas- and matrix-infrared spectra, ab initio calculations and thermodynamic properties. «Chem. Phys.», 1977, 21, № 3, 327—347 (англ.)

Изучены ИК-спектры поглощения (200—4000 см⁻¹) газообразного $\text{CH}_3\text{N}:\text{CH}_2$ (I), полученного пиролизом N- trimetilteksgidro-5-триазина, и изолированных в матрице из Ar при 4°К I и $\text{CH}_3\text{CH}:\text{NH}$ (II), полученного фотолизом $\text{CH}_3\text{CH}_2\text{N}_3$ в матрице. Выполнен анализ норм. координат и проведены расчеты цис- и транс-конформаций молекул I и II и их изомеров $\text{CH}_2:\text{CHNH}_2$

и CH_2NHCH_2 неэмпирич. методом ССП ЛКАО МО. Идентифицированы наблюдавшиеся полосы поглощения I и II, определены их силовые постоянные, рассчитаны термодинамич. параметры исследованных соединений. Библ. 34. С. Ф. Б.



Lommel 7075/

1978

phenom.
meas
j.

Frost & C; et al.

J. Electron Spectr. and
Related Phenomena,
1978, 14, 379-90



CH3CH=NH Lommel 70757 L1978

Frost D.C.; et al

quinox
chiral;
(y)

J. Electr. Spectrosc.
and Related Phenomena,
1978; 14, 379-90



CH₃NH₂

1978

No

89: 97236e Vibration-inversion-internal rotation-rotation Hamiltonian for methylamine. Kreglewski, M. (Inst. Chem., Adam Mickiewicz Univ., Poznan, Pol.). *J. Mol. Spectrosc.* 1978, 72(1), 1-19 (Eng). A new vibration-inversion-internal rotation-rotation Hamiltonian for CH₃NH₂ was developed in which the inversion and internal rotation motions are removed from the vibrational problem by allowing the mol. ref. configuration to be the function of inversion (ρ) and internal rotation (τ) coordinates. The treatment is based on the idea of J. T. Hougen et al. (1970) who have studied the large amplitude bending motion of triat. mols. The inversion-internal rotation potential function $V(\rho, \tau) = a\rho^4 - b\rho^2 + c\rho^3 \cos 3\tau$ was used in which the coupling between the 2 large amplitude motions is taken into account. The inversion-internal rotation energy levels of CH₂NH₂ were calcd. with the used of the zeroth-order Hamiltonion for the zero value of the total angular momentum quantum no. J . The elec. dipole selection rules resulting from the symmetry classification of states were also discussed.

C.A. 1043, 29, N12

CH_2CHNH_2

сммак 6353

1978

Miller R., et al.

пакет

чеснокин,
Барбериниевин

Helv. chim. acta,

1978, 61, 14)

1407 - 18

C_2H_5-N Lemmer 8324 /1979

Kb. aer.
packed
E

Castro E.A.

Int. J. Quant. Chem.,
1979, 15, 355-358.

C₂H₃NH₂

1979

8 Б132. Сродство к протону этилиденимина и виниламина. Ellenberger M. R., Eades R. A., Thomsen M. W., Farneth W. E., Dixon D. A. Proton affinities of ethylenimine and vinylamine. «J. Amer. Chem. Soc.», 1979, 101, № 24, 7151—7154 (англ.)

Методом ионного циклотронного резонанса установлено, что сродство к протону для этилиденамина равно $213,2 \pm 2$ ккал/моль относительно значения для NH₃, равного 203,6 ккал/моль. Комбинацией этого сродства с известной теплотой образования протонированной частицы для теплоты образования (298 К) нейтр. имина получено значение 2 ± 4 ккал/моль. Сродство к протону для C-протонирования виниламина, вычисленное неэмпирич. методом MO с двухэкспонентным базисным набором, равно 220,2 ккал/моль. Подсчитано, что сродство к протону для N-протонирования виниламина на 18,7 ккал/моль ниже, чем для C-протонирования. Приведены также рассчитанные значения сродства к протону для аммиака, метиламина, диметиламина и trimethylамина с использованием того же базисного набора.

Резюме

*Средство
к изложению*

X. 1980
N 8

C₂H₅N

1980

24 Б37. Расчеты эффективным методом молекулярных орбиталей, использующим точную кинетическую энергию. Harris F. E., Trautwein A., Delhalie J. *Fake molecular-orbital calculations.* «Chem. Phys. Lett.», 1980, 72, № 2, 315—318 (англ.)

Предложен полуэмпирич. метод МО для расчета электронного строения больших молек. систем. Вклады кинетич. энергии в матричные элементы фокиана F_{ij} предложено вычислять по точным ф-лам для одноэкспонентных орбиталей слейтеровского типа. Одноцентровые вклады потенциальной энергии в диагональные элементы являются параметрами метода (зависящими от эффективного заряда атома), а вклады в недиагональные элементы предложено вычислять с помощью параметров Слейтера—Кондона (для одноцентровых F_{ij}) и ф-лы Вольфсберга—Гельмгольца (для двух-

(47)

X. 1980 № 24

центровых F_{ij}). Двухцентровые двухэлектронные взаимодействия учтены в приближении Матага—Нишимото. Параметры метода подобраны так, чтобы воспроизвести полученные неэмпирич. ССП МО ЛКАО методом эффективные заряды и орбитальные энергии ε_i 37 малых молекул, содержащих атомы Н, С, N, O, F. Приведены рассчитанные ε_i занятых МО C_2H_5N , C_2H_4 , C_3H_4 , C_3O_2 , $CHONH_2$, NNO , FNO , F_2CO , находящиеся в удовлетворительном соответствии с ε_i , полученными неэмпирич. методом МО ЛКАО ССП. О. В. Гриценко

C₂H₅N

1980

Jug R.

new class
concerning
(3)

Theor. chim. acta.
1980, 57, nr. 107-30

ccr. H₂-III

CH₃CH=NH 89-XIV-9224

1980

23 Б222. Пиролиз этиламина. II. Синтез и микроволновый спектр этилиденимина (CH₃CH=NH). Lovas F. J., Suenram R. D., Johnson D. R., Clark F. O., Tiemann E. Pyrolysis of ethylamine. II. Synthesis and microwave spectrum of ethylenimine (CH₃CH=NH). «J. Chem. Phys.», 1980, 72, № 9, 4964—4972 (англ.)

Измерены в области частот от 35 до 130 ГГц МВ-спектры двух изомеров этилиденимина, CH₃CH=NH, цис- (I) и транс- (II), в основном колебательном состоянии и I в первом возбужденном крутильном состоянии. Синтез I и II осуществлен в результате пиролиза этиламина или изопропиламина при т-ре 900° и при пиролизе тримера (CH₃CHNH)₃ при т-ре 250°. Анализ спектров выполнен с учетом эффектов центробежного искажения, ¹⁴N-ядерного квадрупольного

Синтез,
и. б. енкіт

ЧИИ.

X. 1980 № 23

взаимодействия и внутреннего вращения метильной группы. Для I и II, соотв., вращательные постоянные в основном колебательном состоянии равны (в МГц). $A = 53120,528(80)$ и $49960,6(177)$, $B = 9778,4950(106)$ и $9828,21(15)$, $C = 8701,3167(166)$ и $8650,29(15)$. Высота барьера внутреннего вращения для I и II, соотв., равна $V_3 = 1,595$ и $1,475$ ккал/моль. Из эффекта Штарка второго порядка для двух переходов определены компоненты и полные дипольные моменты I и II, соотв., $\mu_a = 0,834(23)$ и $2,408(14) D$, $\mu_b = 1,882(5)$ и $0,88(16) D$ и $\mu = 2,058$ и $2,56 D$. Полученные данные использованы для определения возможной молек. структуры I и II. Сообщ. I см. «J. Chem. Phys.», 1975, 62, 1925.

С. Н. Мурзин

$\text{CH}_3\text{CH}=\text{NH}$ 39-XIV-9224 1980

12 Д470. Пиролиз этиламина. II. Синтез и микроволновый спектр этилиденимина ($\text{CH}_3\text{CH}=\text{NH}$). Pyrolysis of ethylamine. II. Synthesis and microwave spectrum of ethylenimine ($\text{CH}_3\text{CH}=\text{NH}$). Lovas Frank J., Suenram Richard D., Johnson Donald R., Clark Frank O., Tiemann Everhard. «J. Chem. Phys.», 1980, 72, № 9, 4964—4972 (англ.)

Изучены микроволн. спектры (область 35—130 ГГц) продуктов пиролиза этиламина и изопропиламина ($T \sim 900^\circ\text{C}$), а также тримера этилиденимина ($T \sim 500^\circ\text{C}$) при давлении $30-50 \cdot 10^{-3}$ мм рт. ст. Исследование эффекта Штарка и анализ сверхтонкой структуры полос позволили выделить в спектрах полосы, относящиеся к различным вращательным переходам от цис(I)- и транс-этилиденимина (II). Оценены значения вращательных постоянных, постоянных центробежного растяжения, констант, сверхтонкого расщепления, дипольных моментов и барьеров заторможенного внутреннего вращения молекул I и II. Барьеры заторможенного внутренне-

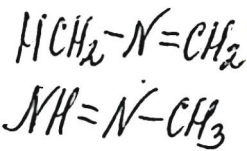
и, н.

φ. 1980 № 12

го вращения равны 557,8 и 551,1 см⁻¹ для I и II соответственно. Определены длины связей и углы между ними. Обсуждается механизм перехода этилиденимина из цисформы в более устойчивую трансформу.

В. В. Белякова

тся,
чине



Кв. исх.
расчет,
сингекул.
геодесгра

(+1) □

2 1980 № 16

16 Б76. Теоретический подход к проблеме таутомерии триад $\text{HX}-\text{Y}=\text{Z} \rightleftharpoons \text{X}=\text{Y}-\text{ZH}$. II. Имины, гидразоны и оксимы ($\text{Y}=\text{N}$, $\text{Z}=\text{CH}_2$). Lhamyani-Chraib M., Gélizé-Duvigneau M., Aggiau J., Elguero J. Approche théorique du problème de la tautomerie des triades $\text{HX}-\text{Y}=\text{Z} \rightleftharpoons \text{X}=\text{Y}-\text{ZH}$. II. Cas des imines, hydrazones et oximes ($\text{Y}=\text{N}$, $\text{Z}=\text{CH}_2$). «Bull. Soc. chim. belg.», 1980, 89, № 1, 71—82 (франц.; рез. англ.)

Выполнены расчеты с полной оптимизацией геометрии полуэмпирич. методами ППДП/2 и ВКВЛО таутомерных пар $\text{HX}-\text{N}=\text{CH}_2$ (I) \rightleftharpoons $\text{X}=\text{N}-\text{CH}_3$ (II), где $\text{X}=\text{CH}_2$ (а), NH (б), O (в). Геометрич. параметры, найденные методом ППДП/2, приводятся в статье; отмечается, что метод ВКВЛО дает близкие результаты, но длины связей систематически превышают получаемые в ППДП/2-расчетах. Найдено, что *s*-транс-конформер (относит. связи $\text{N}-\text{O}$) формальдоксима (Ів) более стабилен, чем *s*-цис. Длина связи $\text{C}=\text{N}$ в Ia—Iv очень слабо зависит от заместителя X. Атом азота аминогруппы гидразона Iб имеет неплоскую конфигурацию. Оба использованных расчетных метода дают для Iв длину связи $\text{N}-\text{O}$, заниженную более чем на 0,1 Å, и

1980

неправильно предсказывают относит. стабильность пар изомеров I и II, отдавая предпочтение, соотв., азометану (IIб) и нитрозометану (IIв). Методом ППДП/2 оптимизирована геометрия анионов $-XNCH_2$ (III); найдено, что они структурно ближе к I, чем к II. Ионизация сопровождается увеличением угла XNC. Анализируются распределения заряда и порядки связей в I—III. Построены карты электростатич. потенциала анионов IIIа—IIIв; обнаружены потенциальные ямы вблизи ато-

ма С вне плоскости XNC и вблизи гетероатомов в плоскости XNC. Величины потенциала как на большом расстоянии ($\sim 2,5$ Å) от соотв. атома, как и в точках минимумов свидетельствуют в согласии с экспериментом о предпочтительности протонирования по гетероатомам N, O.

В. Я. Беспалов



1980

Pross A., et al

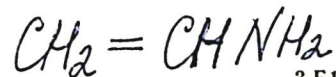
Kb. uex.
pacrem,
сруктура

J. Amer. Chem. Soc., 1980,
102, n^o 7, 2253-2259.



acc CH_3BH_2 ; III

1981



(виниламина)

ЗБ111. Электронное строение виниламина. Протонное сродство и конформационный анализ. Eades Robert A., Weil David A., Ellenberger Mark R., Farneth William E., Dixon David A., Douglass Charles H. Electronic structure of vinylamine. Proton affinity and conformational analysis. «J. Amer. Chem. Soc.», 1981, 103, № 18, 5372—5377 (англ.)

Электронное строение

Методами ССП МО ЛКАО в валентном приближении ЧУДДП и неэмпирически в базисе ОСТ-ЗГФ и двухэкспоненциальных базисах без учета и с учетом поляризации. p - и d -АО проведены расчеты различных конформаций виниламина (I), этилидинимина (II) и метилиенимина (III). Оптимизация геометрич. параметров проводилась методом ЧСДДП. Анализом энергетич. градиентов, полученных в двухэкспоненциальном базисе подтверждено, что атом N в I должен иметь пирамидальную структуру, при этом, однако, II на 5,2 ккал/моль более стабилен, чем I. Проведены

X.1982, 19, № 3.

расчеты различных протонированных форм I—III и приведены величины их протонного сродства (ПС), к-рые составляют (относительно NH_3) —20,1; —14,9 и —4,6 ккал/моль соотв. Разница в энергиях С- и N-протонированных форм I составила 18,3 ккал/моль, причем 1-я форма оказалась более стабильной. Рассчитаны барьеры вращения и инверсии I. В иминиевых ионах найдена значит. делокализация положит. заряда к α -атому С. Рассчитаны величины Пт ионизации (ПИ) и дипольных моментов I—III. Из рассчитанных значений ПС и ПИ оценены величины сродства I—III к атому Н.

И. Абронин

М-з.
информ

C_2H_4NH

СМ. 13155

1981

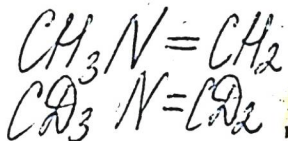
4 Д 118. Расчет силового поля азидина, N-хлор- и N-бромазидина. Force field calculations on aziridine, N-chloro- and N-bromo-aziridine. Kalcher K., Kosmuss W., Faegri K., J. r. «Spectrochim. acta», 1981, A37, № 10, 889—893 (англ.).

Выполнен анализ норм. координат циклич. молекул C_2H_4NX ($X=H, Cl, Br$); приведены выражения для внутренних координат симметрии. По литературным данным для частот колебаний вычислены силовые постоянные общего валентного силового поля и силового поля Юри — Бредли. М. Р. Алиев

+2

C_2H_4NCl , C_2H_4NBr

Ф. 19.82, 18, НЧ.



1984

9 Б1244. Анализ эффектов центробежного искажения и внутреннего вращения во вращательных спектрах N-метилметанимина- d_0 и d_5 . Centrifugal distortion and internal rotation analysis of the rotational spectra of N-methylmethanimine d_0 and d_5 . Demaison J., Vugie J., Denis J. M., Van Eijck B. P. «J. Mol. Spectrosc.», 1984, 107, № 2, 250—260 (англ.)

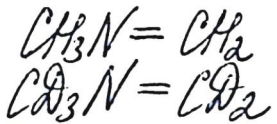
В диапазоне 8—240 ГГц исследованы МВ-спектры молекул $\text{CH}_3\text{N}=\text{CH}_2$ и $\text{CD}_3\text{N}=\text{CD}_2$. Идентифицированы линии вращательных переходов с $J \leq 40$ в основном колебательном состоянии, а также туннельное $A-E$ -расщепление и квадрупольная СТС линий. Определены значения вращат. и квартичных центробежных постоянных, барьера внутреннего вращения метильной группы ($V_3 = 713,7 \text{ см}^{-1}$) и постоянных квадрупольной связи ядра азота.

Е. В. Алиева

μ_i, ∂_i

X. 1985, 19, № 9

1984



4 Л145. Анализ эффектов центробежного искажения и внутреннего вращения в вращательных спектрах *N*-метилметанимина- d_0 и d_5 . Centrifugal distortion and internal rotation analysis of the rotational spectra of *N*-methylmethanimine d_0 and d_5 . Demaison J., Burié J., Denis J. M., Van Eijck B. P. «J. Mol. Spectrosc.», 1984, 107, № 2, 250—260 (англ.)

В диапазоне 8—240 ГГц исследованы МВ-спектры молекул $\text{CH}_3\text{N}=\text{CH}_2$ и $\text{CD}_3\text{N}=\text{CD}_2$. Идентифицированы линии вращательных переходов с $J \leq 40$ в основном колебательном состоянии, а также туннельное $A - E$ -расщепление и квадрупольная СТС линий. Определены значения вращательных и квартичных центробежных постоянных, барьера внутреннего вращения метильной группы ($V_3 = 713,7 \text{ см}^{-1}$) и постоянных квадрупольной связи ядра азота.

М. Р. Алиев

ф. 1985, 18, № 4.

NH₃ - C₂H₂

DM. 18850

1984

10 Л180. Структура димера NH₃ — ацетилен. The structure of NH₃-acetylene. Fraser G. T., Leo-pold K. R., Klemperer W. «J. Chem. Phys.», 1984, 80, № 4, 1423—1426 (англ.)

Методом электрического резонанса в молекулярных пучках получены микроволны. спектры в области 5—11 ГГц образованных в пучке димеров NH₃—C₂H₂. Приведены измеренные с точностью ~10 кГц частоты линий и их отнесение к вращательным переходам симметричного волчка. По эффекту Штарка на линии $J=1-0$ измерен дипольный момент димера. Найдены вращательная постоянная B_0 , константы центробежной деформации и квадрупольного расщепления по ядру ¹⁴N. Эти величины использованы для определения геометрии комплекса и основной частоты его валентного колебания. Найденная линейная структура комплекса и равновесное расстояние согласуются с результатами расчетов электронной структуры комплексов. Дано сравнительное рассмотрение свойств аналогичных комплексов. Библ. 23. М. В. Т.

спектр,
изомер.,
структура,

и. о.

сф. 1984, 18, N 10

*NH₃ комплекс
— C₂H₂*

дн. 18.850 1984

17 Б1259. Структура комплекса NH₃-ацетилен. The structure of NH₃-acetylene. Fraser G. T., Leopold K. R., Klempereger W. «J. Chem. Phys.», 1984, 80, № 4, 1423—1426 (англ.)

Методом электрического резонанса в молекуларном пучке измерены в области частот 5—11 ГГц вращательный спектр слабосвязанного молекул комплекса NH₃ — ацетилен в основном колебательном состоянии. Идентифицировано 10 компонент СТС трех вращательных переходов комплекса. Анализ спектра выполнен в рамках модели симметрического волчка с учетом квадратичного центробежного искажения и ¹⁴N-ядерного квадрупольного взаимодействия. Определены вращательная постоянная $B_0 = 2724,567(5)$ МГц, постоянные центробежного искажения $D_J = 7,14(70)$ кГц, $D_{JK} = -894(3)$ кГц и постоянная квадрупольного взаимодействия $eQq_{aa} = 3,137(18)$ МГц. По эффекту Штарка для двух сверхтонких компонент перехода $J=0 \rightarrow 1$ определен дипольный момент комплекса $\mu = 1,9871(16)$ Д.

м.п.

Х.1984, 19, N 17

В предположении, что структуры NH_3 и ацетилена сохраняются при образовании комплекса, рассчитаны усредненные структурные параметры. Комплекс обладает симметрией C_{3v} , с расстоянием между центрами масс NH_3 и ацетилена 4,063(4) Å. При этом C_3 -ось NH_3 и C_∞ -ось C_2H_2 наклонены относительно a -оси комплекса соотв., на 23,2(3) и 15°. Длина Н-связи N—H комплекса оценена как 2,333(4) Å. Определенные из МВ-данных значения структурных параметров согласуются с результатами структурного расчета (Frisch M. J. и др., «J. Chem. Phys.», 1983, 78, 4063). Результаты сопоставлены с данными для родственных комплексов с водородной связью N—H на основе NH_3 и HCN . С. Н. Мурзин

$\text{NH}_3 \cdot \text{C}_2\text{H}_2$

On. 18850 1984

100: 111388k The structure of ammonia-acetylene. Fraser, G. T.; Leopold, K. R.; Klümperer, W. (Dep. Chem., Harvard Univ., Cambridge, MA 02138 USA). *J. Chem. Phys.* 1984, 80(4), 1423-6 (Eng). The microwave spectrum of the weakly bound complex $\text{NH}_3 \cdot \text{C}_2\text{H}_2$ was measured by mol.-beam elec. resonance spectroscopy. A spectrum characteristic of a sym. top was obsd. and the spectroscopic consts. were detd. The obsd. spectrum is consistent with an axially sym. complex in which the C_2H_2 H bonds to the NH_3 with a H bond length of 2.33 Å.

аныкнга,
и б срекмп

C.A. 1984, 100, N 14

U.M. 19958)

1984

CaNH_5^+

CaNH_5

Lien M.H., Hopkins-
son A.C.,

ab initio
pacem

Can. J. Chem., 1984,
62, N 5) 922-925.

$\text{CH}_2 - \text{NH} - \text{CH}_2$

DM. 20472 1984

6 Б1049. Расчет неэмпирическим методом ССП+КВ барьера внутреннего вращения $\text{CH}_2 - \text{X} - \text{CH}_2$. Ab initio SCF+CI calculation of rotational energy barriers in $\text{CH}_2 - \text{X} - \text{CH}_2$ species. Volatron F. «Can. J. Chem.», 1984, 62, № 8, 1502—1505. (англ.; рез. фр.)

Неэмпирическим методом ССП МО ЛКАО с учетом конфигурац. взаимодействия (КВ) рассчитаны барьеры внутреннего вращения (БВВ) метиленовых групп вокруг связей $\text{C}-\text{X}-\text{CH}_2-\text{X}-\text{CH}_2$ с $\text{X}=\text{NH}$, O и CH_2 . Оптимизация геометрии проведена в базисе 3-21ГФ с учетом КВ 3×3 , в к-рое включены три синглетные конфигурации, построенные из двух граничных орбиталей. Энергии оптимизированных структур, вычислены в базисе 4-31ГФ с учетом КВ. В КВ учтено несколько однократно возбужденных конфигураций (S -пространство), из них построена матрица КВ и вычислены многочленные волновые функции, вклад всех остальных однократно и двухкратно возбужденных конфигураций учиывали во 2-м порядке теории возмущений. Если при этом обнаруживалось, что какая-то конфигу-

расчет №

(+) (7)

X. 1985, 19, N 6

$\text{CH}_2 - \text{O} - \text{CH}_2$, $\text{CH}_2 - \text{CH}_2 - \text{CH}_2$

рация сильно взаимодействует с первоначально отобранными (выше порогового значения), то ее включали в S -пространство и всю процедуру учета КВ повторяли (см. «J. Chem. Phys.», 1973, 58, 5745). Получены следующие значения БВВ: для $X=NH$ 36,1, для $X=O$ 20,6 и для $X=CH_2$ 1,1 ккал/моль. Вычисленные БВВ слабо зависят от учета взаимодействия с конфигурациями, не включенными в S -пространство, и от размера самого S -пространства.

К. Я. Буршнейн



$\text{CH}_3 - \text{CH} = \text{NH}$ [Dm. 25358]

1985

fl-Baldawi N. et al.,
Shanshal et al.,

Parzem

Мордига.

Родзейн.

Родзимони

Омиселен.

Изимеев-
Ходжев.

Chim. acta turc., 1985,
13, N1, 41-58.

NH₃-HCCH

от 31.135 1985

22 Б1372. Микроволновые и инфракрасные характеристики некоторых слабосвязанных комплексов NH₃. Microwave and infrared characterization of several weakly bound NH₃ complexes. Fraser G. T., Nelson D. D. Jr., Chago A., Klempereger W. «J. Chem. Phys.», 1985, 82, № 6, 2535—2546 (англ.). Место хранения ГПНТБ СССР

Методами электрич. резонанса в молек. пучке в обл. частот 65—91 000 кГц и 3,75—23,0 ГГц, ИК-спектроскопии в обл. частот 920—990 см⁻¹ и 1020—1092 см⁻¹ и микроволнового — ИК двойного резонанса изучены ван-дер-ваальсовые комплексы NH₃—HCCH (I), NH₃—HCN (II), NH₃—CO₂ (III), (NH₃)₂ (IV), (ND₃)₂ (V), Ar=NH₃ (VI), NH₃—OCS (VII) и NH₃—N₂O (VIII). С учетом ранее выполненных исследований определены вращат. постоянные и дипольные моменты для I: $B = 2724,567(4)$ МГц, $\mu = 1,9871(16)$ D, для IV: $(B + C)/2 = 5110,0(5)$ МГц, $\mu = 0,74(2)$ D, для V: $(B + C)/2 = 4190,3(3)$ МГц, $\mu = 0,57(1)$ D и для VI оцен-

(д.п.)

77/8

Х.1986, 19, N 22

ка дала $B \approx 2,5$ ГГц. Определены частоты ИК-переходов фотодиссоциации для I, III, VII и VIII, соотв., 984,4(9), 987,1(2), 981,5(1,5) и 980(2) см⁻¹. Из этих данных оценена энергия диссоциации комплексов не более 2,8 ккал/моль.

С. Н. Мурзин

общ

C₂H₅N

[0m. dd 200]

1985

Уланохум С.А., Грибов Н.Н.
и др.,

астрономы
окрёсдем.
рабочие.
современни

ж. Структур. Земли,
1985, 26, № 4, 42-47.

CH₂CHNH₂

(OM-24580)

1986

CH₂CHCN

Marriott S., Topsom

R.D.

Mol. Struct. Theo-

onyxene

Chem., 1986, 139,
N 1-2, ● 101-107.

CH_2NCH_3

(Dm-26066)

1987

106: 202002v The electronic structure of methyleneamine compounds (CH_2NCH_3 , CH_2NNH_2 , CH_2NOH , and CH_2NF). Armstrong, D. R.; Walker, G. T. (Dep. Pure Appl. Chem., Univ. Strathclyde, Glasgow, UK G1 1XL). THEOCHEM 1987, 34(3-4), 369-89 (Eng). Ab initio geometry optimization calcs. were carried out on CH_2NCH_3 , CH_2NNH_2 , CH_2NOH and CH_2NF using 6-13G and 6-31G** basis sets. Three of the 4 species possess a plane of symmetry while CH_2NNH_2 prefers a non-planar geometry with the amino N adopting sp^3 hybridization. The CN bond length remains almost const. at 1.25 Å with an accompanying bond index of 2.2 for all 4 species. The CNR angle decreases and the related inversion energy at N increases as the R group becomes more electroneg. The charge on N decreases as the R group changes from CH_3 to F and the energy of protonation at N correspondingly decreases from 230 to 194 kcal mol⁻¹. A slight pos. charge is present on the imino C atoms and the stabilizing energy of hydride ion addn. to the imino C atom lies between 23.7 kcal mol⁻¹ and 47.4 kcal mol⁻¹.

ab initio
(pacem)

(f2) A



C.A. 1987, 106, N24

CH₂NCH₃

от 26.06.1987

6 Д111. Электронная структура CH₂NCH₃, CH₂N-
NH₂, CH₂NOH и CH₂NF. The electronic structure of
CH₂NCH₃, CH₂NNH₂, CH₂NOH and CH₂NF. Armstrong D. R., Walker G. T. «J. Mol. Struct. Theor-chem», 1987, 149, № 3—4, 369—389 (англ.)

Проведены неэмпирические расчеты по оптимизации геометрии молекул CH₂NCH₃, CH₂NNH₂, CH₂NOH и CH₂NF с использованием базисов 6—31ГФ и 6—31ГФ**. Три из четырех молекул обладают плоскостью симметрии, тогда как CH₂NNH₂ имеет неплоскостную геометрию с *sp*³-гибридизацией амино-N. Длина CN связи остается почти постоянной при 1,25 Å с индексом связи 2,2 для всех четырех молекул. Угол CNR уменьшается, и относит. энергия инверсии на N возрастает с ростом электроотрицательности группы R. Заряд на N уменьшается, когда группа R меняется от CH₃ до F, и энергия протонирования на N соответственно уменьшается от 230 до 194 ккал·моль⁻¹. Слабый положит. заряд присутствует на атоме углерода иминогруппы, а энергия стабилизации при добавлении гидридного иона к иминогруппе лежит между 23,7 и 47,4 ккал/моль. Л. Д. Б.

М.Н.

87

(73)

от 1987, 18, № 6

$H_2C=CHNH_2$ (M. d# 178) 1987

107: 66929u The inversion-torsion motion in vinylamine. Brown, R. D.; Godfrey, P. D.; Kleiboemer, B. (Dep. Chem., Monash Univ., Clayton, 3168 Australia). *J. Mol. Spectrosc.* 1987, 124(1), 21-33 (Eng). A combined semirigid-bender anal. of vibrational satellite shifts in the microwave spectrum and previously published IR data resolved the ambiguity of the inversion potential in $H_2C=CHNH_2$. The mol. is nonplanar in its equil. configuration. In the motion between the 2 potential min. of the NH_2 group, the H undergo an inversion-torsion motion during which the *syn*-H is always closer to the CCN plane than is the *anti*-H. The barrier height is 390 cm^{-1} and the potential min. are at bending angles of 46.4° from the plane. The large-amplitude-motion treatment predicts the hitherto unobserved 1^+-0^- band to lie at 340 nm^{-1} and 269 cm^{-1} in $H_2C=CHNH_2$ and $H_2C=CHND_2$, resp.

(V₆)

C.A. 1987, 107, N8

CH₂=CHNH₂ 07. 27.172 1987

12 Б1262. Веерные и торсионные колебания аминогруппы в виниламине. Amino wagging and torsion vibrations of vinylamine. Hamada Y., Sato N., Tsuboi M. «J. Mol. Spectrosc.», 1987, 124, № 1, 172—178 (англ.)

Исследованы ИК-спектры (800—10 см⁻¹) CH₂=CHNH₂ (I) и CH₂=CHND₂ в газ. фазе с разрешением 0,25 см⁻¹. Синтез I осуществлен путем пиролиза н-пропиламина при 800° С. Обнаружено, что веерные и торсионные колебания аминогруппы расщеплены на две компоненты из-за большой амплитуды инверсии аминогруппы. 2 полосы при 580 и 570 см⁻¹ в спектре I отнесены к торсионному кол. C=C. Неэмпирич. методом вычислена двумерная потенциальная ф-ция веерных и торсионных координат. Оптимизация дает высоты барьеров внутреннего вращения: 1650 и 2090 см⁻¹ для цис- и транс-положений группы NH₂. Это намного ниже величин 2350 и 2550 см⁻¹, полученных из частоты вращения 333 см⁻¹ для I. Эффективная величина барьера внутреннего вращения составляет в I 2400±200 см⁻¹, а барьера инверсии —70±100 см⁻¹. Е. Р. Разумова

М.Н.

Х. 1988, 19, N 12

$\text{CH}_2 = \text{CHNH}_2$ от 27.172 1987

1 Л153. Веерные и крутильные колебания аминогрупп виниламина. Amino wagging and torsion vibrations of vinylamine. Hamada Yoshiaki, Sato Nobuo, Tsuboi Masamichi. «J. Mol. Spectrosc.», 1987, 124, № 1, 172—178 (англ.)

Изучены длинноволнистые ИК-спектры (650—300 см⁻¹) молекул виниламина (I) и его дейтерированных аналогов в газовой фазе с разрешением ~0,25 см⁻¹. Методом ab initio рассчитаны параметры равновесной структуры I. В рамках модели асимметричного волчка для I определены частоты веерных и крутильных колебаний аминогрупп в I. Обнаружено, что ИК-полосы этих колебаний I имеют дублетную структуру вследствие взаимодействия деформационных колебаний I и инверсионного движения аминогруппы с большой амплитудой. Найдены величины потенц. барьеров для инверсионного движения и крутильного колебания в I, равные 700 ± 100 и 2400 ± 200 см⁻¹ соответственно. И. В. А.

сб. 1988, 18, № 1

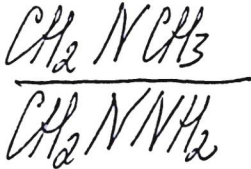
$H_2C:CHNH_2$

1987
Om. 27172

107: 86338d Amino wagging and torsion vibrations of vinylamine.
Hamada, Yoshiaki; Sato, Nobuo; Tsuboi, Masamichi (Fac. Pharm.
Sci., Univ. Tokyo, Tokyo, Japan 113). *J. Mol. Spectrosc.* 1987,
124(1), 172-8 (Eng). Far-IR spectra of $H_2C:CHNH_2$ and $H_2C:CHND_2$
were obsd. in the gas phase at 0.25 cm^{-1} resoln. Each of the NH_2
wagging and torsion energy levels was split into 2 by a large
amplitude inversion motion of the NH_2 group. Barrier height for the
inversion was estd. as ~ 700 (± 100) cm^{-1} and that for the internal
rotation 249 (± 200) cm^{-1} .

(75)

C.A. 1987, 107, N10



(OM. 31343)

1988

Ertl P.,

Empyknypa,
1130 Prague-
jany

Collect. Czechosl. Chem.
Commun., 1988, 53, N 12,
2986 - 2994.

CH₂CH₂NH 1988

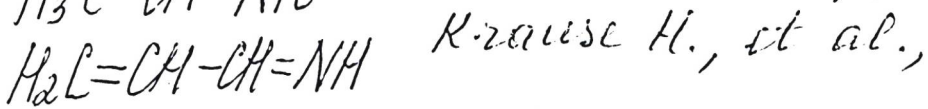
Simandiras E. D.,
Amos R. D., et al.

u. n. J. Amer. Chem. Soc., 1988,
110, N S, 1388 - 1393.

(C₂₂₁ CH₂CH₂CH₂; III)



1989



High Resolution Microwave
CW Spectroscopy of Imines
and Nitrates in Exterior
Magnetic Fields.

Eleventh Colloquium On
High Resolution Molecular
Spectroscopy, Göttingen,
September 18-22, 1989, A-1,
F8.

МНСЧЧУ [Om. 32275] 1989

(азириадж)

и др.

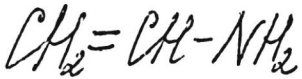
Зигановев К.А.,

Иль. Тимирязев. Р-Х.

авт. Акаг. 1989, № 4, 179 -
ном. 184.

Квадрато-хром. исходит паслен

чрезвычайных параметров можно
предвидеть в атомсодржимых
импровизированных системах забу-
сивших синтезических радиоактив



1990

113: 141166e Submillimeter-wave spectrum, far-infrared spectrum, and inversion potential of vinylamine. Brown, R. D.; Godfrey, P. D.; Kleihommer, B.; Pierlot, A. P.; McNaughton, D. (Dep. Chem., Monash Univ., Clayton, 3168 Australia). *J. Mol. Spectrosc.* 1990, 142(2), 195-204 (Eng). The rotational spectra between 18 and 355 GHz of the Coriolis-coupled O^+ and O^- inversion states of vinylamine were assigned and fit to give values of the rotational consts., Coriolis coupling const. (μ_{br}), and inversion splitting (ΔE). The value of $\Delta E = 45.481(74) \text{ cm}^{-1}$ was confirmed by measurement of the far-IR spectrum of vinylamine. The rotational data were combined with the frequencies of the IR transitions of the amino wagging vibrations in a large amplitude motion anal. to give a barrier to inversion of 356 cm^{-1} with min. at bending angles of 50.8° .

LL CREEKNO,

M.N.

C.A. 1990, 113, N 16

$\text{CH}_3\text{N}:\text{CH}_2$

1992

117: 78992d High-resolution diode laser spectroscopy of the ν_{16} band of N-methylmethylenimine. Yu, Gang; Duxbury, Geoffrey (Dep. Phys. Appl. Phys., Univ. Strathclyde, Glasgow, UK G4 0NG). *J. Mol. Spectrosc.* 1992, 155(1), 105-14 (Eng). High-resoln. IR diode laser spectroscopy of mol. discharges through amines and diamines was carried out. The IR spectrum of the ν_{16} band of the short-lived species $\text{CH}_3\text{N}:\text{CH}_2$ (*N*-methylmethylenimine) was recorded at the 10- μm region with a resoln. of 0.002 cm^{-1} . Over 100 vibration-rotational transitions belonging to the ν_{16} (CH_2 rocking) fundamental band of $\text{CH}_3\text{N}:\text{CH}_2$ were assigned near the band center at 1026 cm^{-1} . The rotational consts. of the excited state of this C-type band were detd. by using a least-squares fitting program with a std. deviation of less than 0.001 cm^{-1} .

(P₁₆)

Trans. No. II

C.A. 1992, 112, 148

H₃CCH=NH [Dm 38206] | CNH₂CCH=NH 1995

CH₃ CCH=NH

NH₂CCH=NH Jen-Fong Lin, Cheng-Chang
Wu, et al.,

ab initio
part. of J. Phys. Chem., 1995, 99,
16903 - 16908

Ab Initio study on the

Inine - Enamine Tautomerism &
the d-substituted Inines
($XH_2CCH=NH$, $X=H, Br_2, CH_3, NH_2,$
 DH, F, Cl, CN, NO)

F: CH₃CN

1999

P: 3

131:204842 Calculation of highly excited vibrational energy levels of CH₃ molecule by non-linear quantum theory. Zhu, Jun; Gou, Qing-quan (Departme of Applied Physics, Sichuan University, Chengdu 610064, Peop. Rep. China) Phys. Sin. (Overseas Ed.), 8(6), 430-433 (English) 1999

A three-parameter nonlinear dynamical model, i.e., the quantized discret self-trapping equation, was used to calc. the highly excited CH stretching vibrational energy levels of the liq. phase CH₃CN mol. in the electronic state up to n=7. The calcd. results show that the exptl. energy levels c well described by the model.

2000

F: C₂H₂-NH₃

P: 3

132:127988 The Acetylene-Ammonia Dimer as a
Prototypical C-H...C-N...N Hydrogen-Bonded System: An Assessment of Theoretical
Procedures. Hartmann, Michael; Radom, Leo

Research School of Chemistry, Australian
National University Canberra 0200, Australia

2000 J. Phys. Chem. A, 104(5), 968-973 (English)
 The effect of a variety of theor. methods
 (HF, B3-LYP, MP2, QCISD, and CCSD(T)) and basis
 sets (from 6-31G(d) to 6-311+G(3df,2p)) on the
 calcd. geometry and dimerization energy of the
 acetylene-ammonia dimer

HCCH.cndot..cndot..cndot.NH₃ is exmd. The dimer has C_{3v} symmetry with acetylene acting as the

C.A. 2000, 132

hydrogen bond donor. Our highest level calcns. (CCSD(T)/6-311+G(3df,2p) including BSSE correction) predict an equil. cont distance $r(H.cndot..cndot..cndot.N)$ of 2.280 Å and an equil. binding e .DELTA.Ee of 14.1 kJ mol⁻¹. Incorporation of a scaled B3-LYP/6-311+G(3df zero-point vibrational correction leads to .DELTA.E0 = 9.3 kJ mol⁻¹. The expensive CCSD(T)/6-311+G(3df,2p)//B3-LYP/6-311+G(3df,2p) procedure repro these benchmark energies and is therefore recommended for general applica small hydrogen-bonded systems. For larger hydrogen-bonded systems, the s. less expensive B3-LYP/6-311+G(3df,2p)//B3-LYP/6-311+G(d,p) procedure is recommended, and this yields .DELTA.E0 = 7.8 kJ mol⁻¹ for the acetylene-a dimer.

F: c-C₂H₄NH

P: 3

2000

132:85340 The millimeter- and submillimeter-wave spectrum and the dipole moment of ethylenimine.

Thorwirth, S.; Muller, H. S. P.; Winnewisser, G. I. Physikalisches Institut, Universitat zu Koln Koln D-50937, Germany J. Mol. Spectrosc., 199(1), 116-123 (English) 2000

The rotational spectrum of ethylenimine (aziridine, c-C₂H₄NH) was studied in selected regions from 118 to 950 GHz using the Cologne terahertz spectrometer. About 320 lines were measured spanning the quantum nos. $J \neq 0, K_a \neq 0, K_c \neq 0$. All lines were fit together with previously published data to yield refined ground state consts. such as A = 22,736.19294(31) MHz, B = 21,192.46114(31) MHz, and C = 13,383.16401(30) MHz and centrifugal distortion

C.A. 2000, 132

consts. that permit accurate frequency predictions. FTMW measurements were performed at the ETH Zurich to redetermine the dipole moment, to improve ¹⁴N-quadrupole-coupling consts., as well as to det. ¹⁴N-spin-rotation coupling consts. The most reliable values for the components of the dipole moment are $\mu.b = 0.97(12)$ D and $\mu.c = 1.357(25)$ D detd. by the Stark- and addnl. intensity measurements of appropriate b- and c-type transitions. Also, we performed quantum chem. calcns. of the dipole moment of ethylenimine that confirm these exptl. results.

This three-membered ring mol. is of potential astrophys. interest.